

## الزيادة في ضغط الماء عند حدوث الصدمة الهيدروليكيّة

تأليف DOC.ENG. VASIL VODZINSKY

نقلها إلى اللغة العربية:

الدكتور غسان يونس المدرس بكلية

الهندسة المدنية

تتحدث هذه المقالة عن متابعة تطور الزيادة في ضغط الماء عند حدوث الصدمة الهيدروليكيّة على جهاز جديد لقياس وكذلك التحليل النظري لهذه الصدمة .

ان معايرة التدفق في أنابيب الضغط مقرونة دائمًا بتغير في نظام سرعة التدفق والتي تظهر فجأة كزيادة في ضغط الماء وتعرف هذه الحادثة بالصدمة الهيدروليكيّة .

الامثلة العملية لها كثيرة فمثلا يمكن حدوثها عند تنظيم التدفق في الانابيب المضغوط الموصولة بالعنفات أو المضخات أو عند معايرة التدفق الناتج عن فتح واغلاق السكر المائي وكذلك يمكن حدوثها من تخفيض الضغط الناتج في الانابيب وحدوث ما يسمى بتحت الضغط . . . الخ .

ان اهمال تأثير الصدمة عند تصميم وانشاء المآخذ المائية في المحطات الكهربائية (المضخات أو المعدات المائية) تؤدي الى حدوث اضرار غير متوقعة لذلك يجب وضع جهاز في كل محطة هيدروليكيّة لتلافي حادثة الصدمة المائية هذه .

ان نظرية الصدمة الهيدروليكيّة هي معدلة في أيامنا هذه اي ان السرعة والضغط هما تابعان لمتحول الزمن لاحاديث واحدة . وابسط مثال لذلك هو التدفق في انبوب . لكن الحقيقة يجب ان يكون للتابع بعديين

( احداثيين ) لان سرعة السوائل تتتعلق كذلك في مكان النقطة المختبرة بالنسبة الى محور الانبوب .

التدفق في التجربتين ( الحجرة الحلزونية للتوربين كذلك أنابيب السحب ) هو حادثة لها ثلاثة أبعاد او احداثيات .

ونظرا لان الاساس النظري المعلوم في هذه الايام هو وحيد وغير كاف لذلك ومن الواجب وجود الحلول او البحث عن تلك المشكلة العلمية المتعلقة بالصدمة الهيدروليكيه عن طريق الطرق التجريبية المعدلة على أساس معادلة ذات بعد واحد .

ظهر مفهوم الصدمة الهيدروليكيه في او اخر القرن التاسع عشر prof Zukousky / 5, ALLIEVI والمهندس الايطالي وتوصل الاثنان الى نتائج متقاربة مع اختلاف وتباعد اماكن تواجدهم وكانت النتيجة المتقاربة اول معادلة تفاضلية حرکية

$$g \frac{\partial h}{\partial x} = - \frac{\partial v}{\partial t} \quad (1)$$

و الثاني معادلة تفاضلية ( ثبات وزن السائل )

$$a^2 \frac{\partial v}{\partial x} = g \frac{\partial h}{\partial t}$$

حيث  $g$  تسارع الجاذبية

$a$  سرعة الموجة الواحدة .

$\frac{\partial h}{\partial t}$  زيادة ارتفاع الضغط بالنسبة للزمن

$\frac{\partial v}{\partial t}$  زيادة السرعة بالنسبة للزمن

$\frac{\partial h}{\partial x}$  زيادة ارتفاع الضغط بالنسبة للموقع ( موقع النقطة )

$\frac{\partial v}{\partial x}$  زيادة السرعة بالنسبة للموقع

وصحة هاتان العلاقاتان مستمرة وهما أساسياتان .

من أجل التطبيقات العملية لهاتين المعادلتين يجب حلهما او لا يكتمل بهما . وقد قام بذلك ALLIEVI/5/ وتوصل الى التالي :

$$h = h_0 + F \left( t - \frac{x}{a} \right) + f \left( t + \frac{x}{a} \right) \quad (3)$$

$$v = v_0 - \frac{g}{a} \cdot F \left( t - \frac{x}{a} \right) + \frac{g}{a} \cdot f \left( t + \frac{x}{a} \right) \quad (4)$$

حيث  $h$  ارتفاع الضغط في نقطة ما و زمن ما

$v$  السرعة في نقطة ما و زمن ما

$$F \left( t - \frac{x}{a} \right) \text{ ثابت تكامل}$$

$$f \left( t + \frac{x}{a} \right) \text{ ثابت تكامل}$$

$h_0$  ارتفاع الضغط في حالة جريان مستمر و ثابت

$v_0$  السرعة في حالة جريان مستمر و ثابت

ويتنتج من تلك المعادلات بان ارتفاع الضغط  $h$  وكذلك السرعة  $v$  في نقطة ما ( اية نقطة ) وكذلك لحظة ما ( اية لحظة ) هما معطيان بواسطة التابعان  $f$  و  $F$  والمتعلقان فقط بالشروط النهائية ( الطرفية ) للحالات .

ان التابعان  $F \left( t - \frac{x}{a} \right)$  و  $f \left( t + \frac{x}{a} \right)$  هما تابعان تكامليان ويمثلان

فيزيائيا موجات الضغط المتحركة في الانابيب انظر الشكل رقم ( ١ ) - و اذا فحصنا هذين التابعين التكامليين في مجالات زمنية محددة .

$$t_0; t_1 = t_0 + T; t_2 = t_0 + 2T \dots$$

$$t_n = t_0 + nT$$

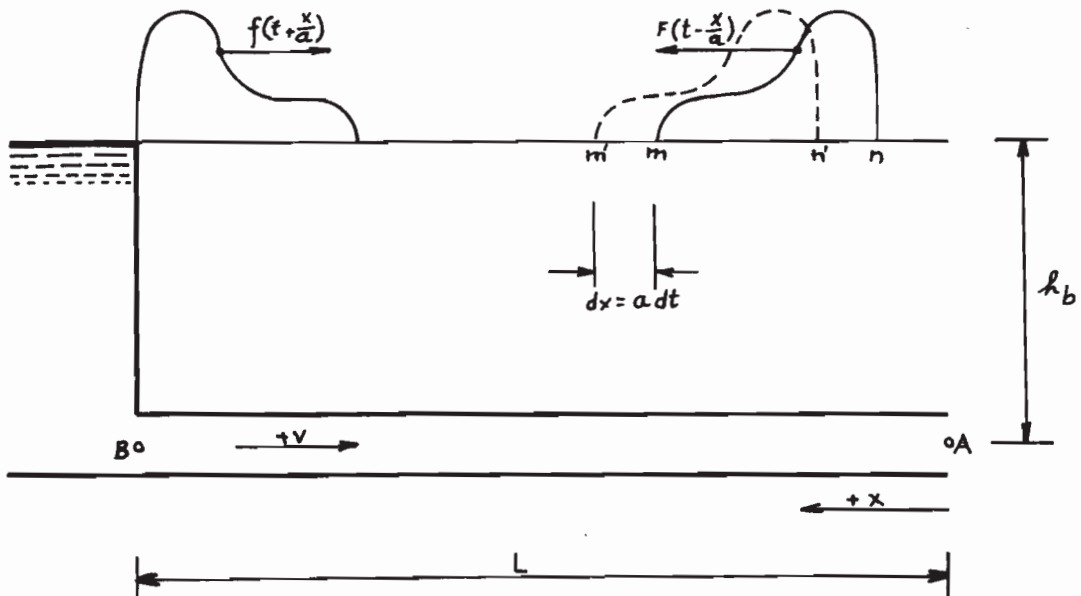


Fig. 1

وإذا كان  $T = \frac{2L}{a}$  وتدعى بزمن اعادة ضغط الموجة الواحدة من طرف الانبوب الى الطرف الآخر ذهاباً واياباً أو دور الموجة نحصل على المعادلة .

$$h_1 - h_0 = \frac{a}{g} (v_0 - v_1)$$

$$h_1 + h_2 - 2h_0 = \frac{a}{g} (v_1 - v_2)$$

...

$$h_{i-1} + h_i - 2h_0 = \frac{a}{g} (v_{i-1} - v_i)$$

وتسمى تلك المعادلات بمعادلات ALLIEVI وتحدد العلاقة بين الضغط والسرعة  $v_i$  في نهاية الانبوب (النقطة A) وعندما تتحقق المعادلة في النقطة النهاية يكون

$$h_B - h_0 = \text{ ثابت } (1), (3)$$

ويتحقق نفس الشيء عند تتبع الحل المنطقي لموجة الضغط الهيدروليكي في مجالات متتابعة .

ولحل اية حالة يجب كتابة معادلاتها مع الاخذ بعين الاعتبار الحالات الخاصة اي الشروط المعطية ( البدائية ) وكذلك الشروط النهائية ( الطرفية ) حيث تأخذ بالحساب حسب Benouli ALLIEVI تحقيق شروط معادلة حتى في حال الجريان الغير ثابت .

### مشاكل التجهيزات والتجارب :

ان احدى طرق تجريب او قياس تطور الصدمة الهيدروليكيه تكون بانشاء تجهيزات التجارب ( الالات ) بحيث تأخذ بعين الاعتبار كافة الشروط والخواص الطرفية ( النهائية ) لكل حالة مع العلم بأن التجهيزات الهيدروتكنيكية المتوفرة لا تستطيع قياس جميع الخواص الطرفية .

ان تجهيزاتنا الجديدة لم تكن موديل مصغر لمشكلة الصدمة الهيدروليكيه المحددة ولكنها كانت تجهيزات اصلية ( Original ) مع العلم بأننا قد أخذنا بعين الاعتبار مشاكل الصدمة الهيدروليكيه وثبت ذلك من النتائج التي توصلنا اليها .

ولامكانية متابعة تغير ضغط ظاهر اقترحنا بأن تكون مواد الانابيب المجربة غير معدنية اي من مواد بلاستيكية PVC . اخترنا مقطع الانابيب بقطر 100 mm صنع شركة بلاستيكانتير ا .

خواص الانبوب هي التالي :

- الوزن النوعي / $\text{kg.cm}^3$  1,35-1,40
- مقاومة الانعطاف  $88,3 \cdot 10^6 / \text{Pa}$
- مقاومة الشد الوسطية  $7,85-24,53 \cdot 10^6 / \text{Pa}$
- مقاومة الضغط  $55,9-108 \cdot 10^6 / \text{Pa}$
- عامل المرونة للشد  $9,81-28,43 \cdot 10^8 / \text{Pa}$

ولفت نظرنا من جميع هذه الخواص قيمة عامل المرونة لأن مجاله واسع واعتماداً على نتائج تجارب اختبارية اجريناها توصلنا إلى نتيجة وهي بان صانع تلك الانابيب حدد القيمة السابقة بالضبط لذلك وعندما اجرينا تجاربنا اخذنا ثلاثة قيم لعامل المرونة وهي الوسطي والطيفيتان .

### وصف تجهيزات الاختبار :

تم تركيب التجهيزات في خندق كبير في مختبر مركز الابحاث في برatislava ( ٤ ) ومن أجل اعطاء فكرة توضيحية لعمل كل قسم في التجهيزات / انظر الشكل ٢ / سنشرح ذلك بالوصف التالي :

دخول الماء إلى الجهاز كان عن طريق شبكة المياه العادية ذات القطر 100 mm وكان الجهاز مجهر بصنوبر اغلاق 100 V وكذلك بأخذ قطره 50 mm وصنبور اغلاق 50 V وذلك من أجل التحكم الدقيق بكمية التدفق . وصنبور الاغلاق هذا كان يصب في حجرة تساوي المستويات والمصنوعة من انبوب من الفولاذ قطره 400 mm وارتفاعها الانشائي 4500 حيث كان في القسم العلوي مثبت جهاز من أجل الكميات الفائضة وذلك من أجل الحصول على ضغط هيدروليكي ثابت . عمل الجهاز موضح بالشكل رقم ٢ .

في الحجرة المذكورة وعلى ارتفاع 600 mm من قاعتها وصلت بانبوب قطره 100 mm وطوله 4962 cm وهذا الانبوب يصب في قسم مغلق والحاوي على جهاز الاغلاق اي جهاز الاغلاق المخروطي .

التحكم بجهاز الاغلاق كان هيدروليكيا ( بواسطة جهاز زيت kompresor ) حيث كان مجهر بجهاز من أجل القراءات لزمن الاغلاق وكان من الممكن التحكم بذلك خلال 0,2 - 15 ثانية .

خروج المياه من قسم الاغلاق كان بواسطة انبوب ويصب في قسم حجرة التنظيم المصممة كحجرة تيلسكوبية للمعايرة الدقيقة للتدفق .

تم قياس التدفق بواسطة السقوط النوعي لـ Thompso حيث انتقلت المياه المتتدفة من حجر التنظيم بواسطة الانابيب .

$$0,0-0,006044 \text{ m}^3 \cdot \text{s}^{-1}$$

حساسية هذا الجهاز كانت لتدفق

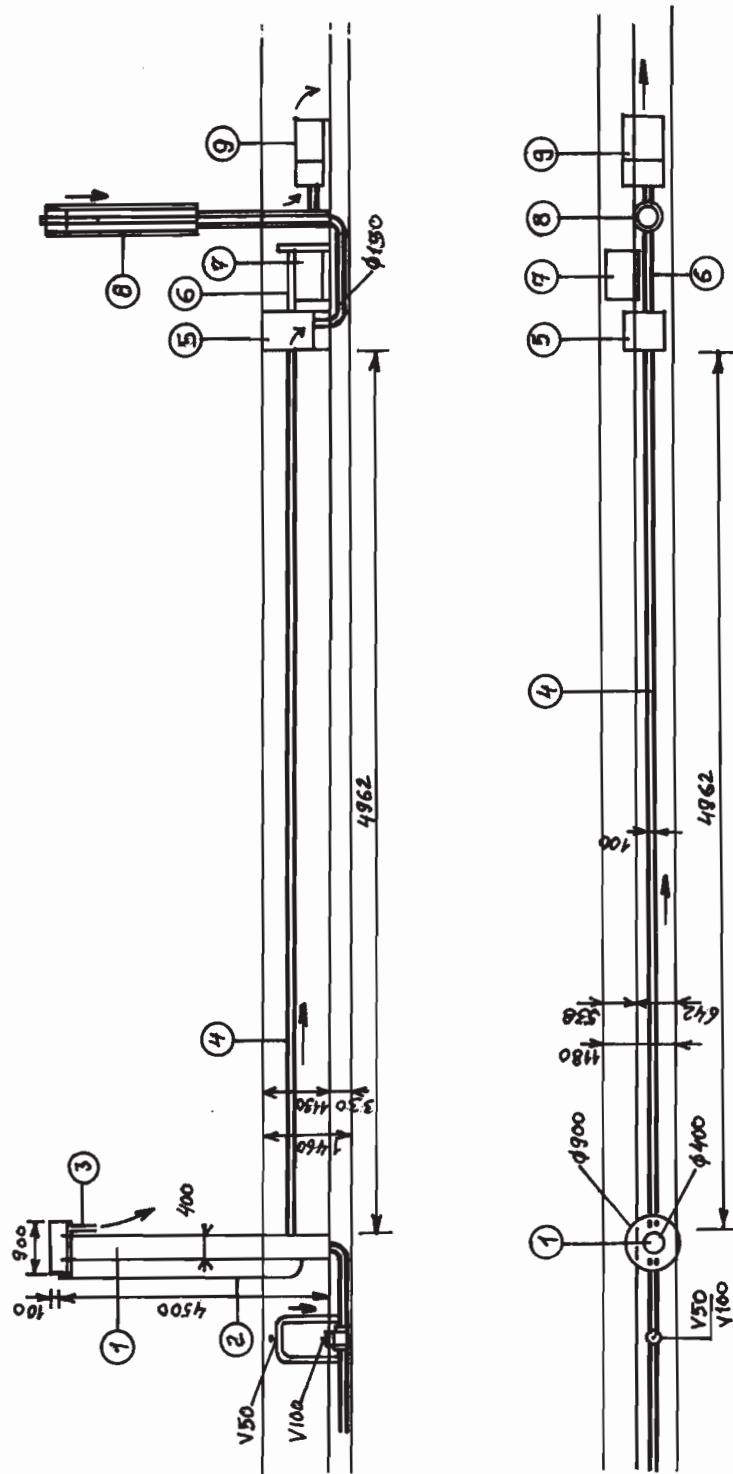


Fig. 2.

## اسلوب البحث :

عندما بحثنا زيادة الضغط في انبوب الاختبار تابعنا تلك الزيادة على انواع مختلفة من التدفق وكذلك زمن اغلاق مختلف واخترنا لذلك من اصغر الى اكبر قيم يعني ذلك اتنا استعملنا لكل نوع من التدفق عدة قيم لزمن الاغلاق . وقسنا كذلك الزيادة في الضغط على شريط تنزومترى نوع G 350 حيث كان ملخص على المقاطع المقاومة وذلك في منطقة قبل الاغلاق ووسط الانبوب المختبر .

الابعاد بين المقاطع النوعية كانت كل  $m = 24$  ولخصنا كذلك الشريط التنزومترى في منطقة القياس وذلك لفصل التأثيرات الحرارية ورطوبة الجو . وصلنا مناطق القياس من خلال جسر تنزومترى TDA-3 على oscilograf 3006/DL حيث اشر بواسطة مؤشر على ورق خاص الى الزيادة في الضغط وهكذا حصلنا على تلك القيم في نقاط القياس وكذلك على زمان الاغلاق .

## تقييم النتائج :

لتقييم النتائج اطلقتنا من تعليمات الاستعمال للجسر التنزومترى TDA-3 والذي حصلنا عليه من مركز ابحاث العربات ذات المحرك في براغ / 2 / وحسب طريقة الاستعمال كان  $1 \text{ mm}$  من اثر التجربة على الورق يعني الاجهادات الموافقة للعلاقة .

$$\frac{\Delta R}{R} = \frac{C}{A \cdot K \cdot X \cdot P} E \cdot 10^{-3} / N \cdot m^{-2}$$

$$\frac{\Delta R}{R} = \frac{C}{A \cdot K \cdot X \cdot P} E \cdot 10^{-3} / N \cdot m^{-2}$$

حيث  $C$  حساسية الجسر الموضعة بـ  $\%_0$   
 $A$  قيمة المعايرة بـ  $\text{mm}$   
 $K$  حساسية تشوه التنزومتر بـ  $\%$   
 $X$  عامل وصل الجهاز ومن اجل تنزومتر فعال  $= 1$

$E$  عامل مرونة المادة المقاسة بـ  $\text{Nm}^{-2}$   
 $P$  ثابت يتعلّق ببنوعية مقاومة التنزومتر شكل / ٣ /

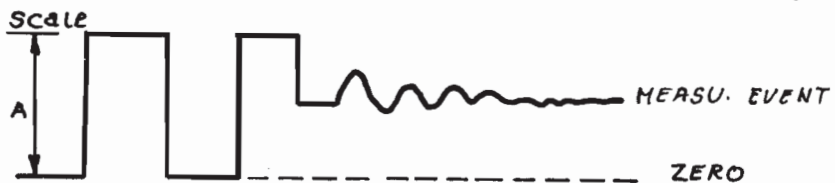


Fig. 3.

وبما ان قيمة المعايرة توافق فقط المجال المتوسط بالضبط على التنزومتر او مقاومات تبديلية بقيمة  $\Omega = 120$  لذلك ومن اجل استعمال مجالات مختلفة للتنزومتر يجب الاخذ بعين الاعتبار عند تقييم النتائج فرق المعايرة اي حاصل ضرب النتيجة بثابت المعايرة  $P$  .  
 ومن اجل قيم المقاومة المستعملة لدينا تكون  $P = 0,928$  .  
 القيمة محسوبة حسب تعليمات الجهاز المذكورة .  
 الاجهاد الحاصل يقدر بـ  $N \cdot m^2$  حسب علاقة ضغط السوائل .

$$P = \rho \cdot g \cdot h$$

حيث  $\rho$  الوزن النوعي

$g$  تسارع الجاذبية

$h$  ارتفاع عمود الماء

وهذه القيمة تضيفها مباشرة الى الزيادة في الضغط الموافقة لارتفاع عمود الماء . ونحسب الاضافة من اجل تسهيل مقارنة النتائج الحاصلة عن طريق الحساب وكذلك التجربة .

## النتائج المحصلة وتقديرها :

قيمنا النتائج التي حصلنا عليها خلال اجراء التجارب وهذه النتائج المتمثلة بالشريط المصور أو المؤشر والذي حصلنا عليه من كل قياس كانت مجالاته معطاة لعدة حلول والنتاجة من جهاز التجربة .  
وعند اختبار التدفق انطلقتنا من استعمال تدفق اصغر قيم الى اكبرها مع اختيار اوقات الاغلاق مختلفة لكل تدفق .  
كذلك تابعنا الزيادات للضغط في القسم الاخير وفي منتصف انبوب الاختبار كما ذكرنا سابقا .  
وكمثال لتقييم النتائج وكذلك لحساب قيم الاجهاد الموافقة لـ 1 mm من ورق التصوير ( التأشير ) عند السدادات .

$$Q = 0,001081 \text{ m}^3 \cdot \text{s}^{-1}$$

وزمن الاغلاق  $T_s = 9s; 3,6s; 1,2s; 0,3s$   
انظر الشكل رقم / ٤ /

والمعلومات الاساسية للمقاطع النوعية كانت

$E \cdot 10^8 / \text{Pa}/$	P	X	K %	A/mm/	C %	مقطع نوعي
9,81-18,62	0,928	1	2,13	72	0,5	مكان الاغلاق
	28,43	0,928	1	2,13	70	وسط

ومنه

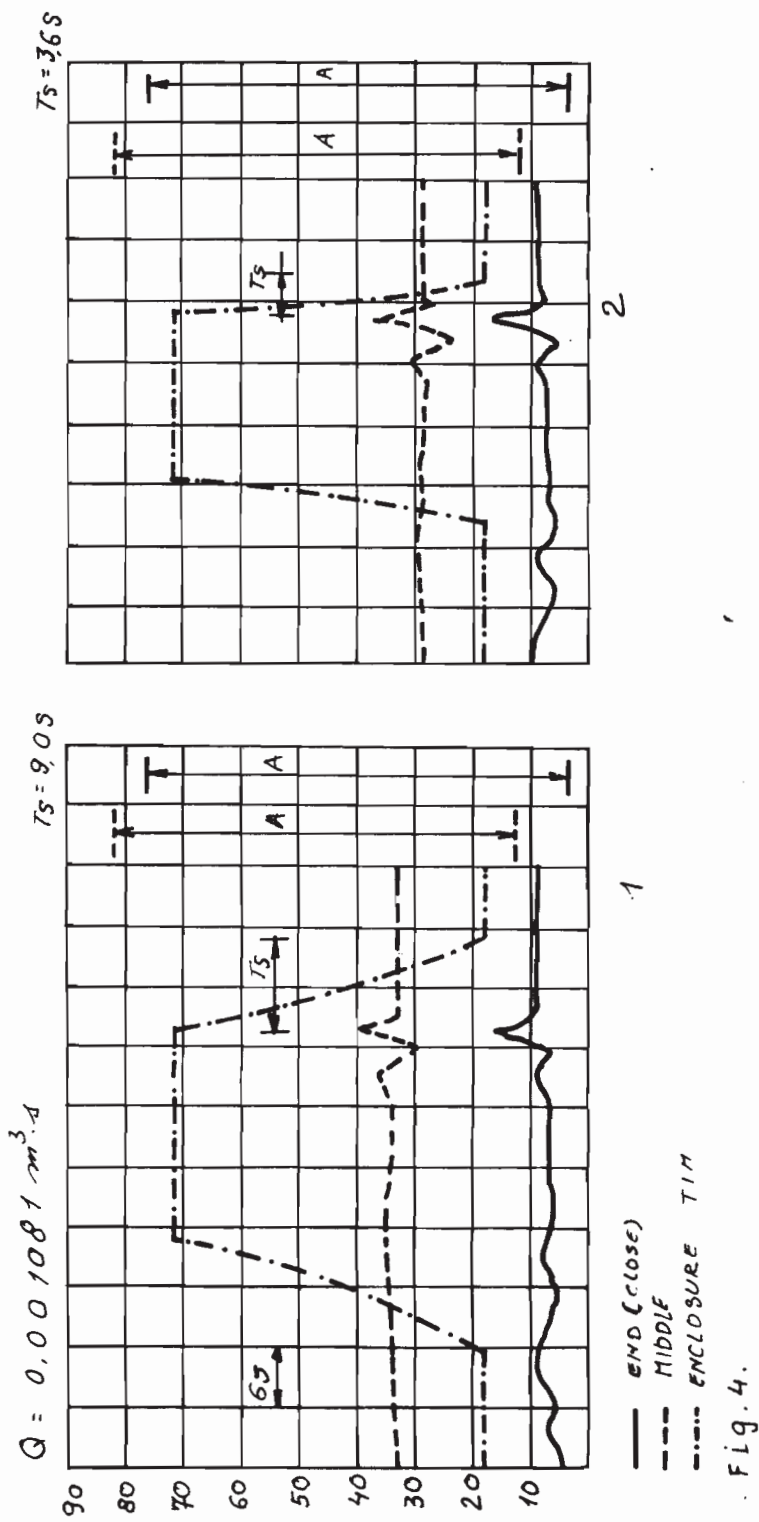
$$= \frac{C}{A \cdot K \cdot X \cdot P} \cdot E \cdot 10^{-3} = \frac{0,5}{0,072 \cdot 2,13 \cdot 1 \cdot 0,928} \cdot 9,81 \cdot 10^4 = 34520 / \text{N} \cdot \text{m}^{-2} /$$

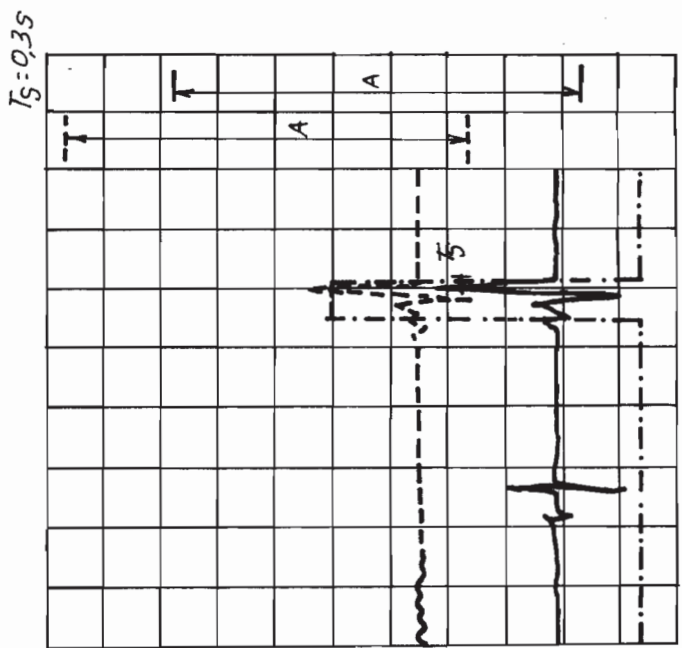
$$h = \frac{G}{\rho \cdot g} = \frac{34520}{1000 \cdot 9,81} =$$

متر للشريط

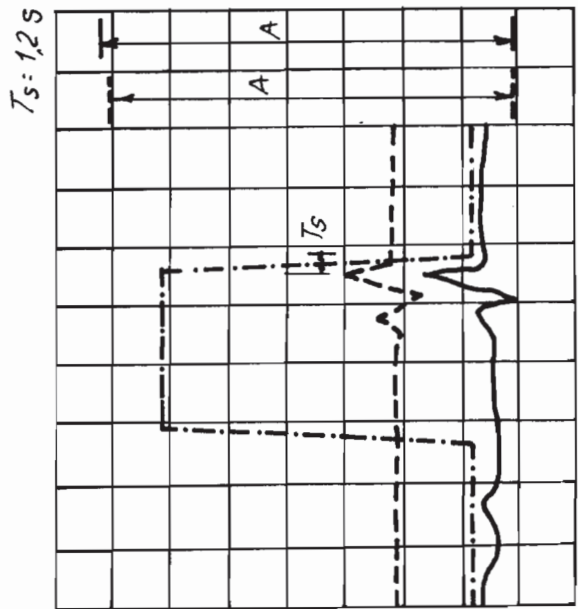
35,211 m

0,035211 mm مليمتر للشريط





4



3

Fig. 4

اما زيادة الضغط الاعظمية لوقت مختلف للغلق في منطقة القياس موجودة في الجدول رقم ( ١ ) .

ومن القيمة الموضحة في المثال السابق ينتج بأن زيادة الضغط تتعلق مباشرة في زمن الغلاق ولها تأثير اساسي وخاصة للقيم الصغيرة حيث الضغط يزداد بسرعة .

اما عند زمن الغلاق الاكبر فتكون زيادة الضغط اصغر بكثير ولا يتطلب ذلك متطلبات كبيرة من انبوبة الادخال لذلك يجب التفكير بما يلي : كل زيادة ضغط وارتفاعاها في المقاطع المقاومة من اجل نفس المعطيات تكون مختلفة .

في حالتنا هذه وفي منتصف القسم المقاس كانت الزيادات خلال اوقات قصيرة اصغر بحوالي % 25 .

ونظن بأنه حسب قياساتنا توصلنا الى شيء جديد وذلك بفضل استعمال الشريط التنزومترى وقواعد ذلك مؤكدة لأنهم مثلا لا يوثرون على تجانس المواد ومكان اخذ الماء اي لا يخفضون ضغط الماء . مثل اساليب السبر الأخرى المتتبعة لانه عند قياس الاجهادات الديناميكية ليس من الصحيح القول بأن ذلك غير اساسي .

وينتاج مما سبق بأن اسلوبنا هذا واقعى حتى في حالات القياس على الاجهزة المائية الموجودة اي المآخذ ولمقارنة النتائج التي توصلنا اليها قياسيا وحسابيا كنا قد حسبنا التغير في الضغط في أنابيب الاختبار بشكل رياضي واستعملنا لذلك ابسط انواع الطرق المتتبعة لذلك وهي حل اول معادلة حرkinية تفاضلية اساسية  $\frac{dv}{dt} = \frac{g}{a} (\Delta h + \frac{v^2}{C^2 \cdot R})$  والتي بعد تعديلهما مع الاخذ بعين الاعتبار تأثير الضياع الناتج من الطول تأخذ الشكل التالي :

$$\Delta v = \frac{g}{a} (\Delta h + \frac{v^2}{C^2 \cdot R}) \cdot \Delta t$$

حيث و تسارع الجاذبية

## أ سرعة ضغط الموجة

٧ زيادة السرعة

زيادة ارتفاع الضغط  $\Delta h$

٤ المختبر الزمني المجال t

السرعة V

عامل السرعة

R نصف القطر الهيدروليكي

ومن العلاقة بين التدفق في الانبوب والسرعة ينتج

$$Q = S(v_O + \sum \Delta v)$$

وحيث أن التدفق في الأنابيب

S مساحة مقطع التدفق

v<sub>0</sub> السرعة في تدفق ثابت

زيادة في السرعة A

Page 11

وكذلك ومن المعادلة التي تعبر عن الشرط الطرفي ( النهائي) فـي

• النهاية السفلية للأنبوب مع الاعتبار انه يسكب في الفراغ .

$$Q = Q_O \frac{S'}{S'_O} \sqrt{\frac{h_O - hz - hv + \sum \Delta h'}{h_O - hz - hv}} = Q_O \frac{S'}{S'_O} \sqrt{\frac{h_O' + \sum \Delta h'}{h_O'}}$$

حيث  $Q$  التدفق في الانبوب عند السكب اي في النهاية

التدفق في الانبوب

S' المساحة الحقيقية لقطع التدفق عند السكب

$S'$  مساحة التدفق في الانبوب

$$h_0' = h_0 - h_2 - hv$$

$$h_z = \frac{(v_0 + \sum \Delta v)^2}{c^2 \cdot R}$$

$$hv = \frac{(v_0 + \sum \Delta v)^2}{2g}$$

L طول الانبوب

ومما سبق ينتج بان حل مجموعة المعادلات هذه بطريقة التجربة حلا طويلا لذلك اوجدنا من اجل الحاسوب الالكتروني WANG 2200 E حيث كانت المعطيات محسوبة / 4 / كذلك على جهاز التجربة وهم محسوبين وموضعين على الشكل / 5 / من اجل النهاية وفي الشكل رقم / 6 / من اجل وسط الانبوب .

ومن المقارنة ينتج بانه بين النتائج الحاصلين عليها من القيم المقاسة والنتائج المحسوبة حسب العلاقات الرياضية توجد بعض الخلافات البسيطة والموضحة والمفسرة كذلك . وهذه الاختلافات تعود لاسباب دقة الجهاز ( شريطة التنزومترى ، القطعة المكثفة ، وسطيا امواج طويلة ، الجسر التنزومترى ، المقوى و Oscilognat ) ومن جهة اخرى لاننا اعتبرنا الحساب بان الجهاز عبارة عن قطعة واحدة مع العلم بان بعض الزيادة في الضغط كانت متاثرة الى حد ما باتصال المفاسيل في الجهاز مع بعضها البعض ( قساوة اكبر وعامل المرونة ) .

#### خاتمة :

ومما سبق ينتج بانه اذا اخذنا بعين الاعتبار بانت استعملنا ادوات وتجهيزات جديدة وكذلك اسلوب جديد للقياس فان نوعية المواد المستعملة في الانابيب هي الخاصة الاساسية للتأكد من اجل الاجهادات

الديناميكية . ونفهم من ذلك ان تكون للمواد تجانس افضل وهذا هو العامل الاساسي الذي يضمن لنا التغلب على الزيادات في الضغط الناتجة عن الصدمة الهيدروليكيه ويكون ذلك بعامل مرونة المادة .

ومعروف لدى الجميع بأنه استعلمت مواد اخرى للانابيب غير المواد الكلاسيكية مع العلم بان هذه المواد تقوم بنفس المهمة . نتيجة الخبرة وكذلك الحاجة الى الاقتصاد في المواد القليلة . كنا مرغمين للت�풀ش عن مواد جديدة ومثال ذلك هو امكانية الاستعمال الواسع والصحيح لم مواد او انابيب PVC من اجل اغراض مائية . ويجب كذلك الانتباه المردود الاقتصادي الكبير واهمية ذلك .

**TAB. 1**

TIM Ts / s/	End (close) h [ m ]			Middle h [ m ]		
	E=9,81.10 <sup>8</sup> Pa	18,62.10 <sup>8</sup> Pa	28,43.10 <sup>8</sup> Pa	9,81.10 <sup>8</sup> Pa	18,62.10 <sup>8</sup> Pa	28,43.10 <sup>8</sup> Pa
9	0,4577	0,9154	1,3732	1,0144	2,0290	3,0434
3,6	0,4929	0,9859	1,4788	0,90578	1,8110	2,2173
1,2	0,5633	1,1267	1,6901	1,12317	2,2464	3,3695
0,3	1,1619	2,3239	3,4858	1,1594	2,3188	3,4782

Le parlamen — corps 10 — Tableau corps 8 — Hayat

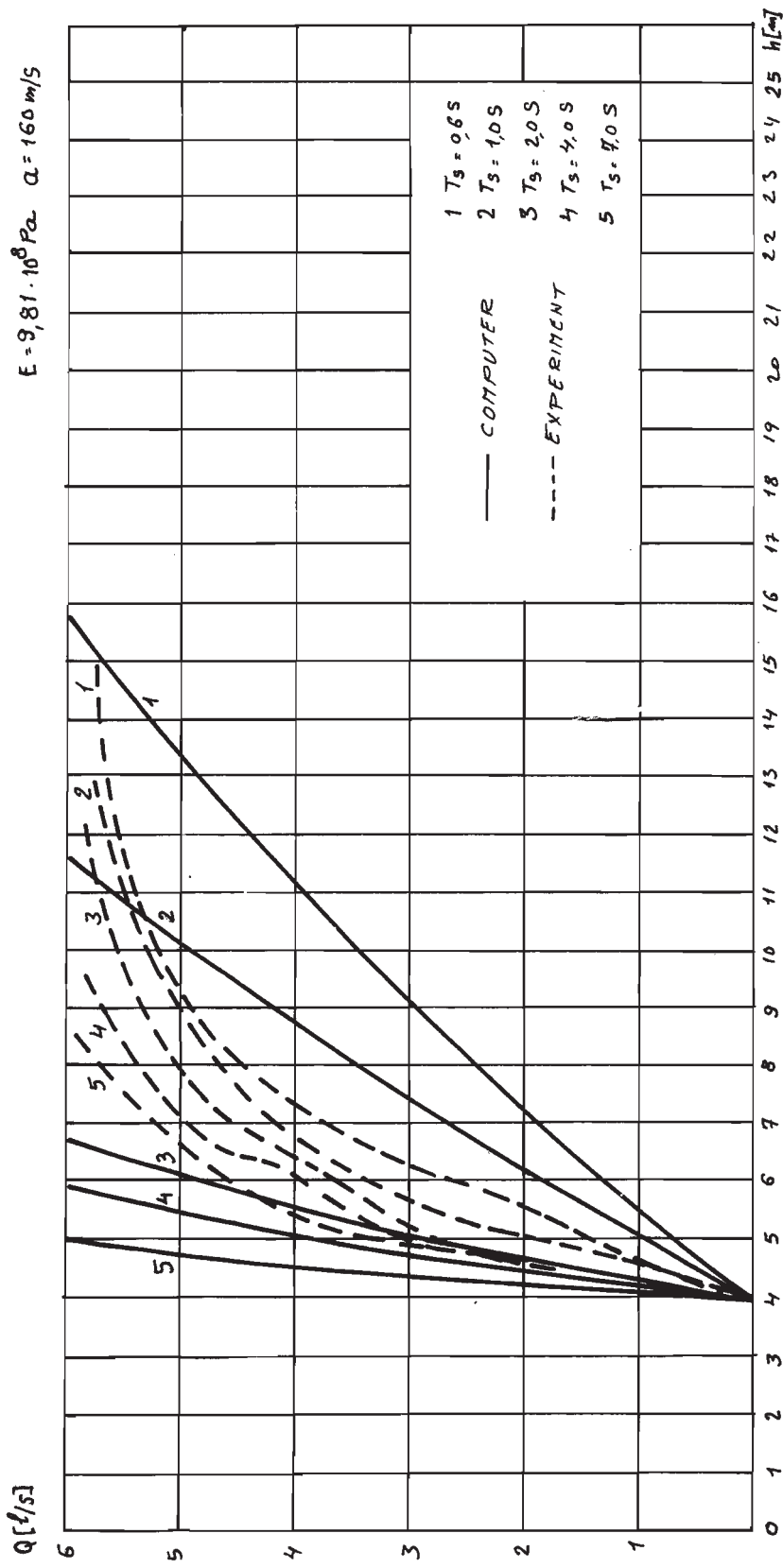
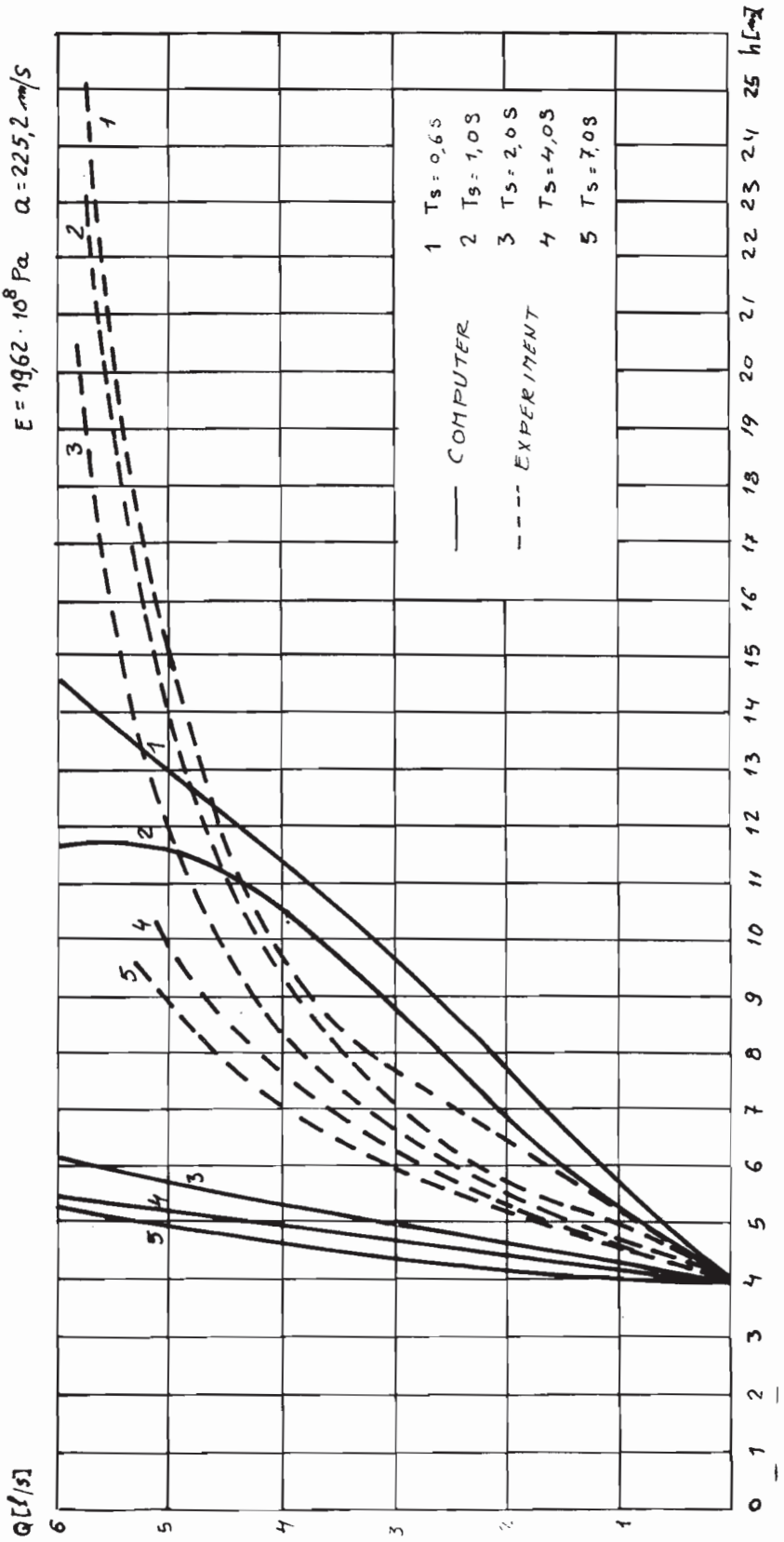


Fig. 9.5a



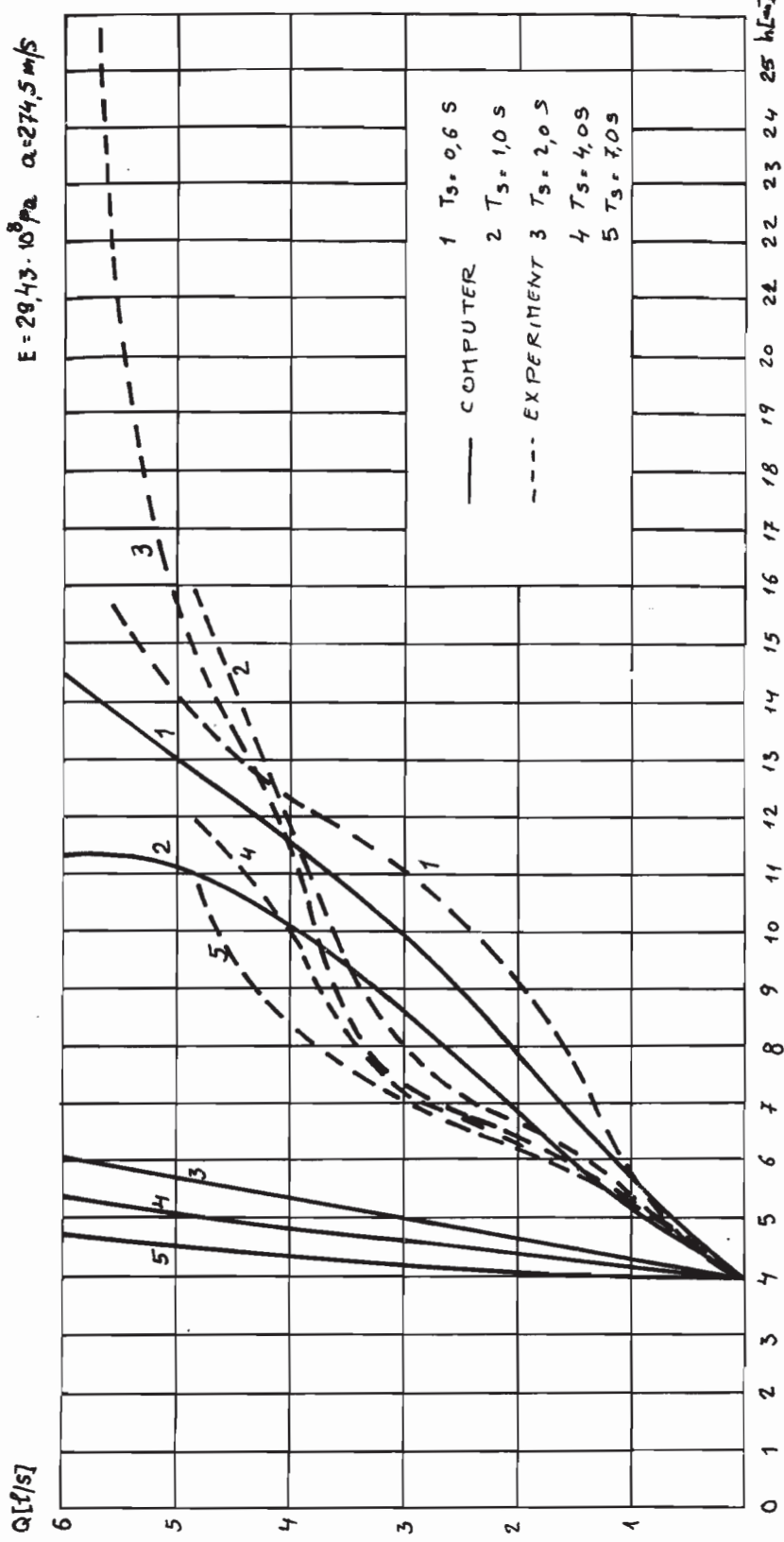


Fig. 5.c

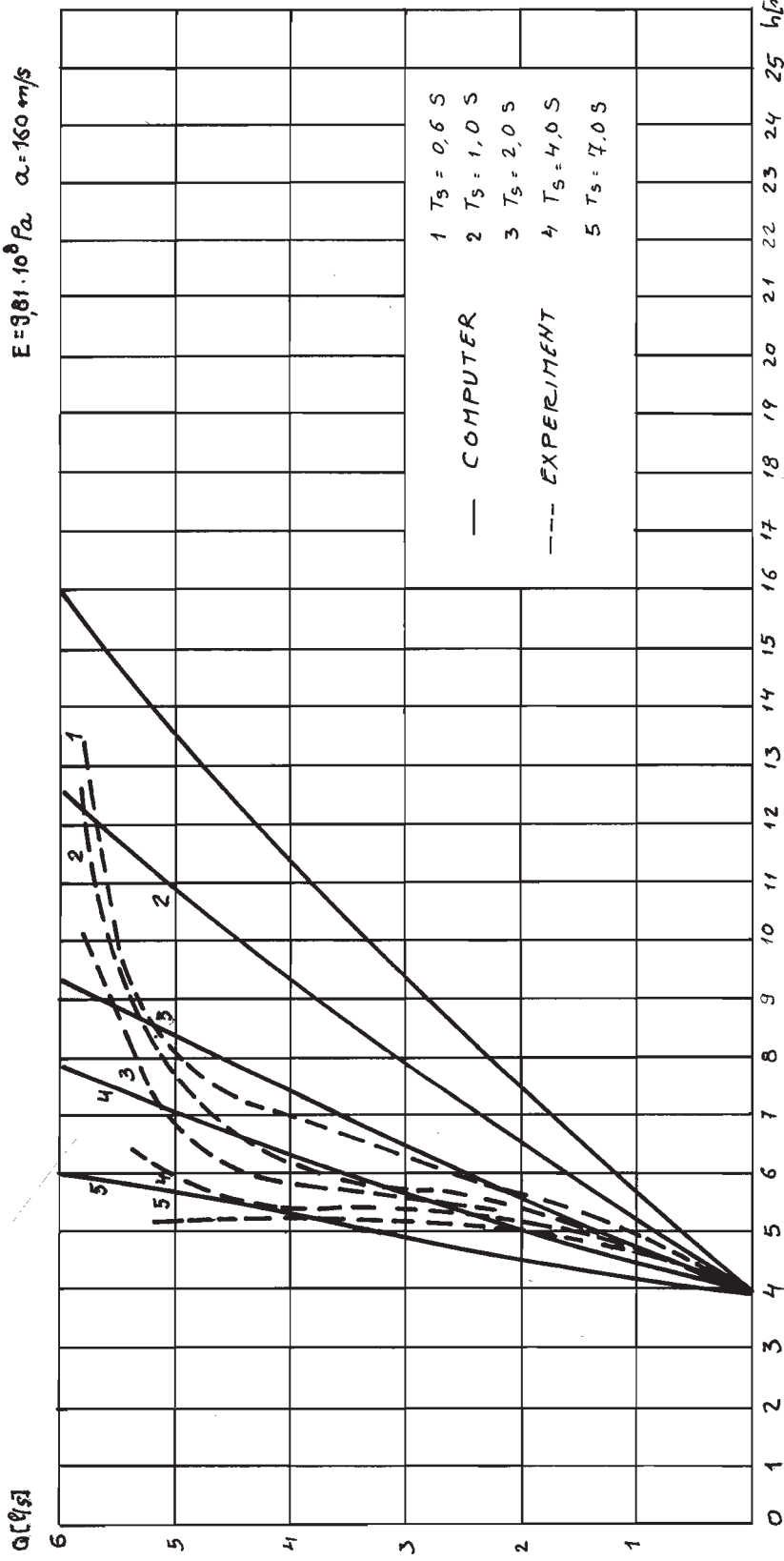


Fig. 6.a

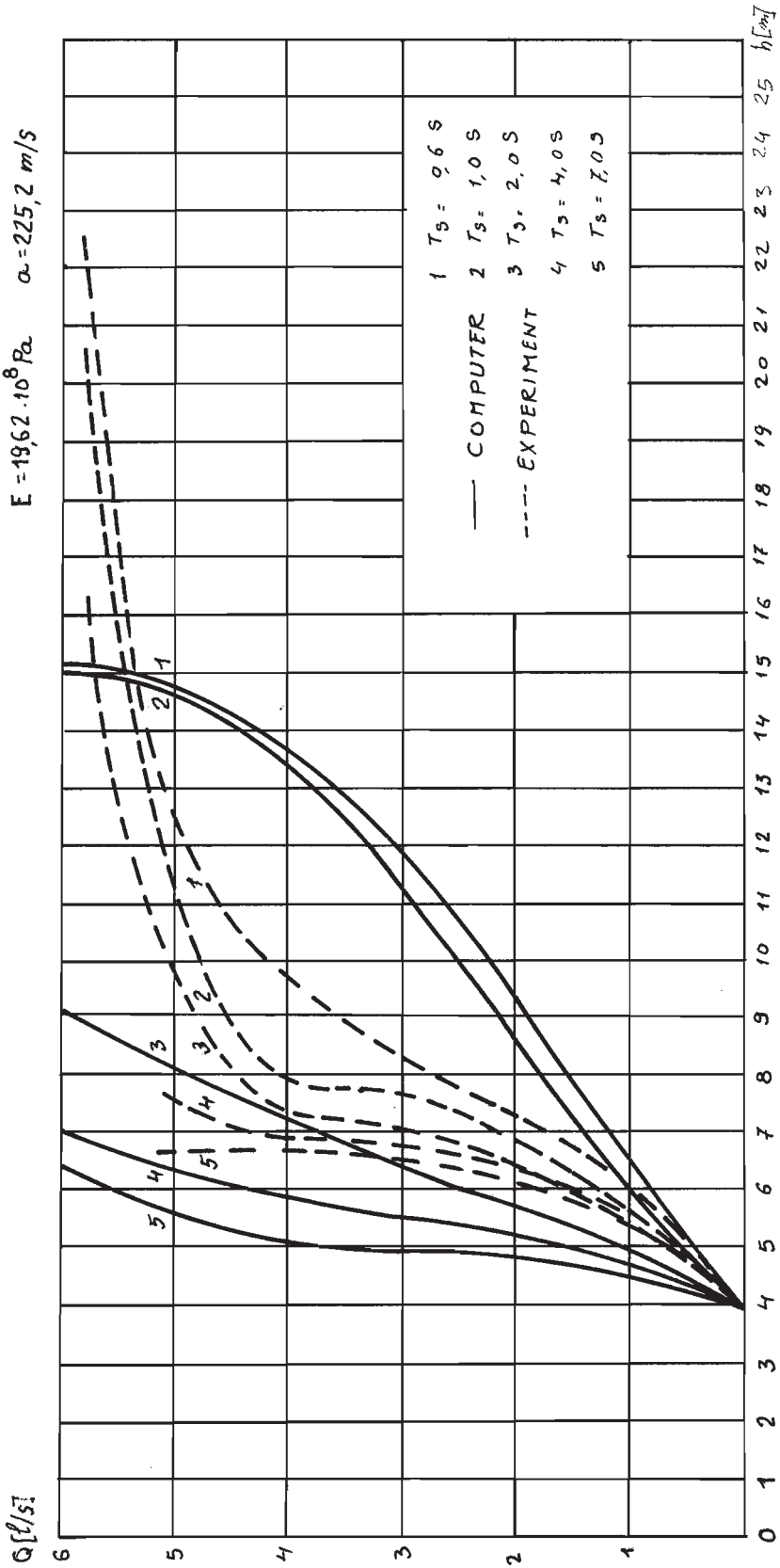


fig. 6.b

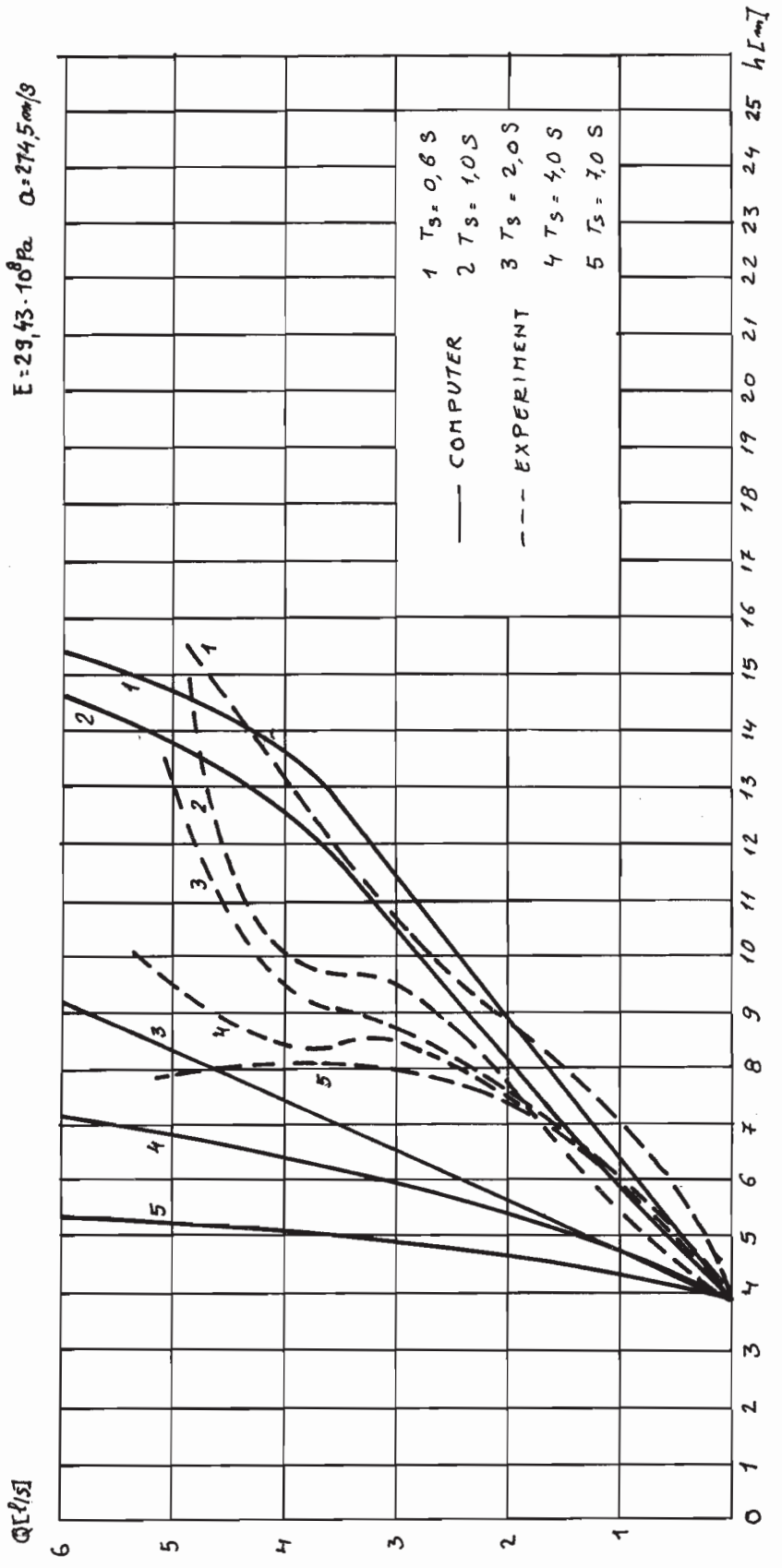


Fig. 6.c

## Literature

---

- 1 - Allievi L. General theory of variable water motion  
in piping , Berlin 1909 .
- 2 - Manual for operation of the tensometric bridge  
TDA- 3 . motor vehicle institute, prague 1961 .
- 3 - Nechleba M . Water turbines , their construction  
and accessories , Prague 1954 .
- 4 - Vodzinsky V - Influence of piping - material and  
construction - and manipulation on the course of  
hydraulic impact , /Candidates dissertation work/  
Bratislava , SvF SVST, 1976.
- 5 - Zhukovsky N.E.

Fig.1. Course of pressure waves in the piping as a  
physical imagination of motion of the integra-  
tion functions .

$L$  - pipe length,  $h_0$  - pressure height ,  $v$ -  
velocity,  $f(t + x/a)$   $F(t - x/a)$  - integra-  
tion functions .

Fig.2. Scheme of the experimental equipment , 1 -  
compensation chamber , 2 - glass tube , 3 -  
discharge from overflow , 4- measured pipe,  
5-closure equipment, 6- control mechanism -  
sealing equipment, 7- oil system, 8-regulation  
chamber , 9 - Thompson measure weir .

Fig.3. Zero seting and scale dimension when using the tensometric bridge TDA - 3 .

Fig.4 Course and increasements of pressure in the - centre and closure of the measured piping

Fig.5. Course of pressure increasements in the closure of the measured piping .

Fig.6. Course the pressure increasements in the centre of measured piping .